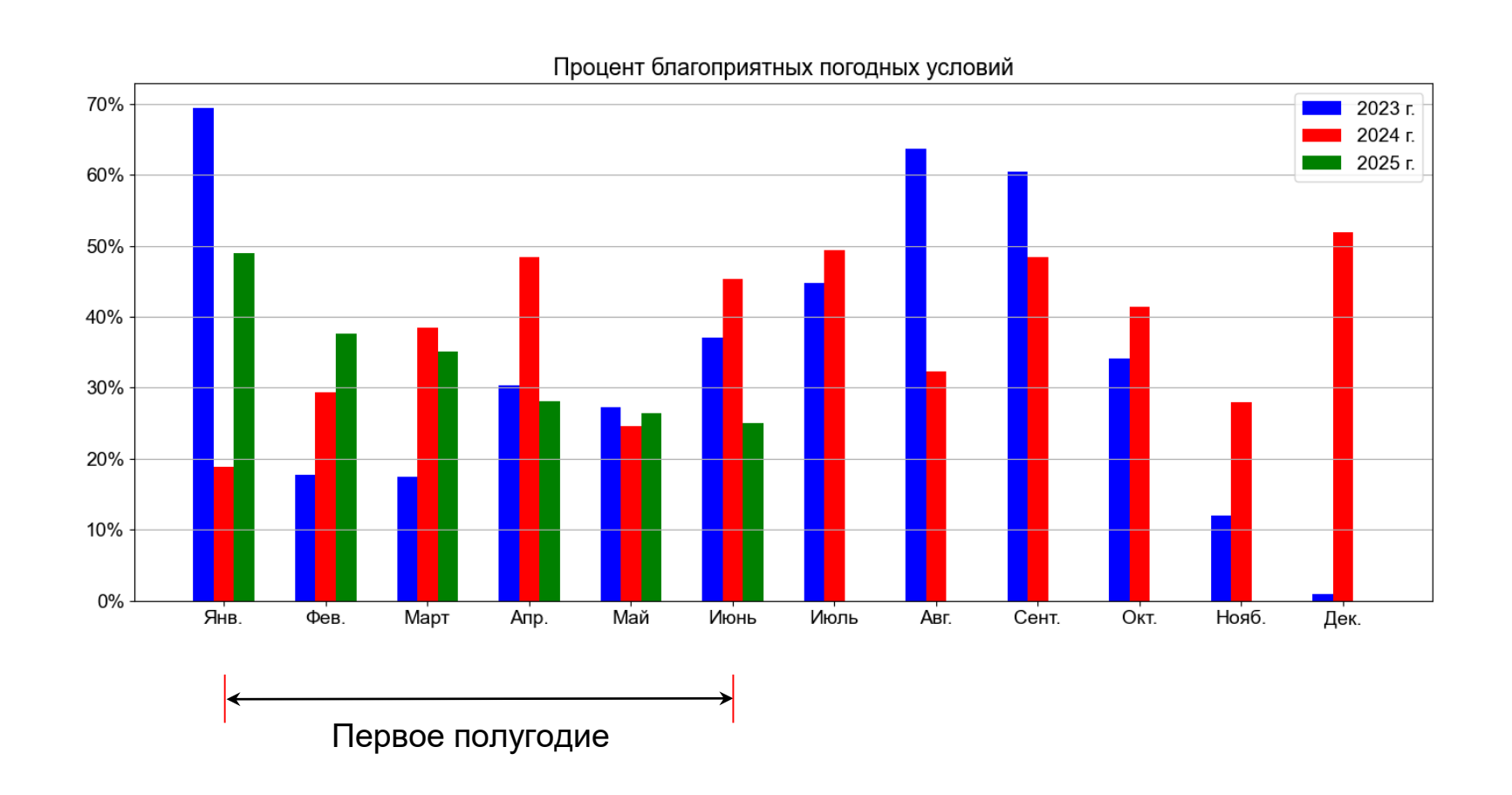
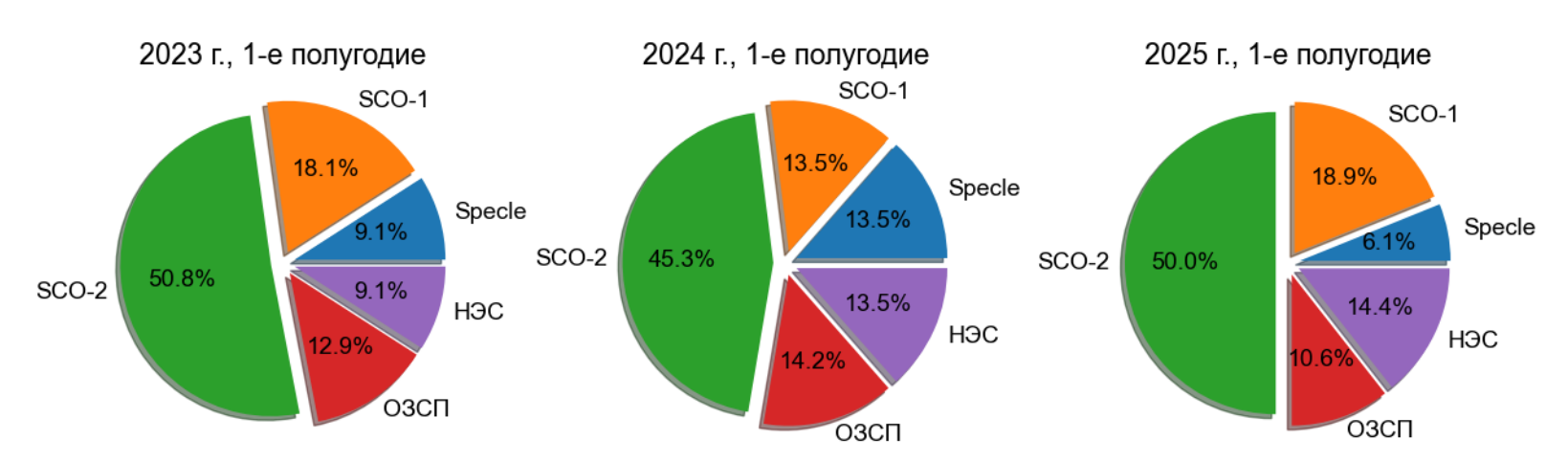


Обеспечение плановых наблюдений



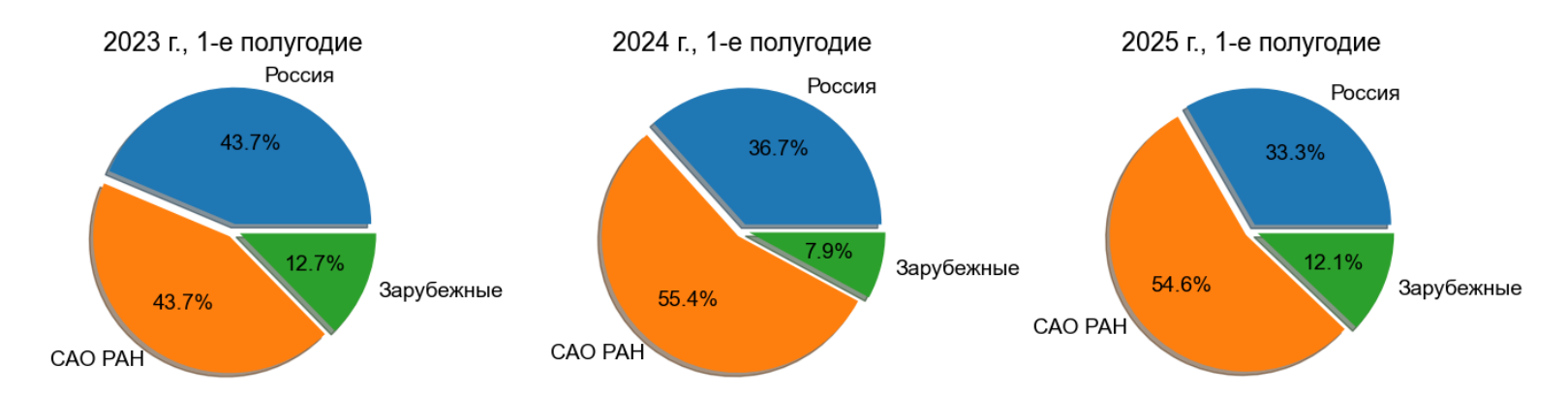
Обеспечение плановых наблюдений

Распределения наблюдательных ночей по приборам

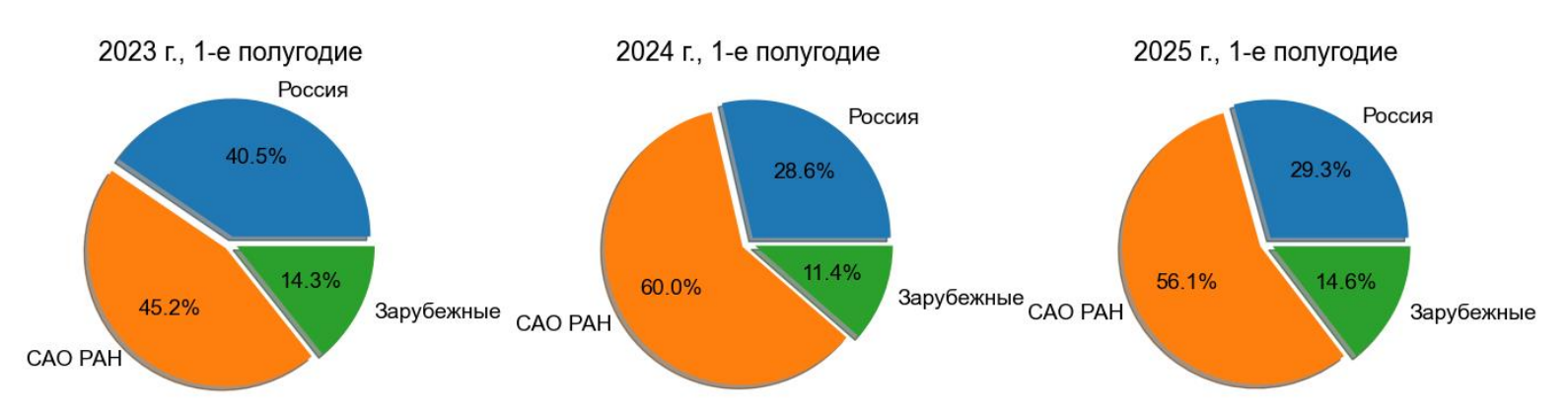


Обеспечение плановых наблюдений

Распределения наблюдательных ночей по заявителям



Распределения заявок



Нестабильность кинематического состояния атмосфер одиночных C-rich post-AGB звезд

В.Г. Клочкова, В.Е. Панчук, Н.С. Таволжанская, М.В. Юшкин (ЛА САО РАН)

Для поиска нестабильности слабых роst-AGB-звезд проведена многолетняя спектроскопия высокого разрешения со спектрографами фокуса H-2 телескопа БТА. В спектрах одиночных звезд в системах ИК-источников IRASz02229+6208, 04296+3429, 07134+1005, 07430+1115, 19500–1709, 22223+4327 и 23304+6147, прошедших 3-е перемешивание, зарегистрированы расщепление и/или асимметрия профилей абсорбций с низким потенциалом возбуждения (преимущественно абсорбций металлов s-процесса), переменность полос Свана молекулы C_2 (Puc.1) и комплексного профиля $H\alpha$ (Puc. 2) а также малоамплитудные пульсации. Максимальная амплитуда пульсаций A>2.5 км/с найдена у звезд в системах IRAS 07134+1005 и IRAS 19500–1709 с максимальными значениями $T_{\rm eff}$ среди звезд изученной выборки. Для двух звезд обнаружена стратификация лучевой скорости в атмосфере. Оценка светимости $Ig L/L_{\odot} \approx 3.1$ звезды в системе IRAS 07430+1115 по интенсивности ИК-триплета кислорода OI 7774 устранила парадокс светимости и малой исходной массы этой звезды.

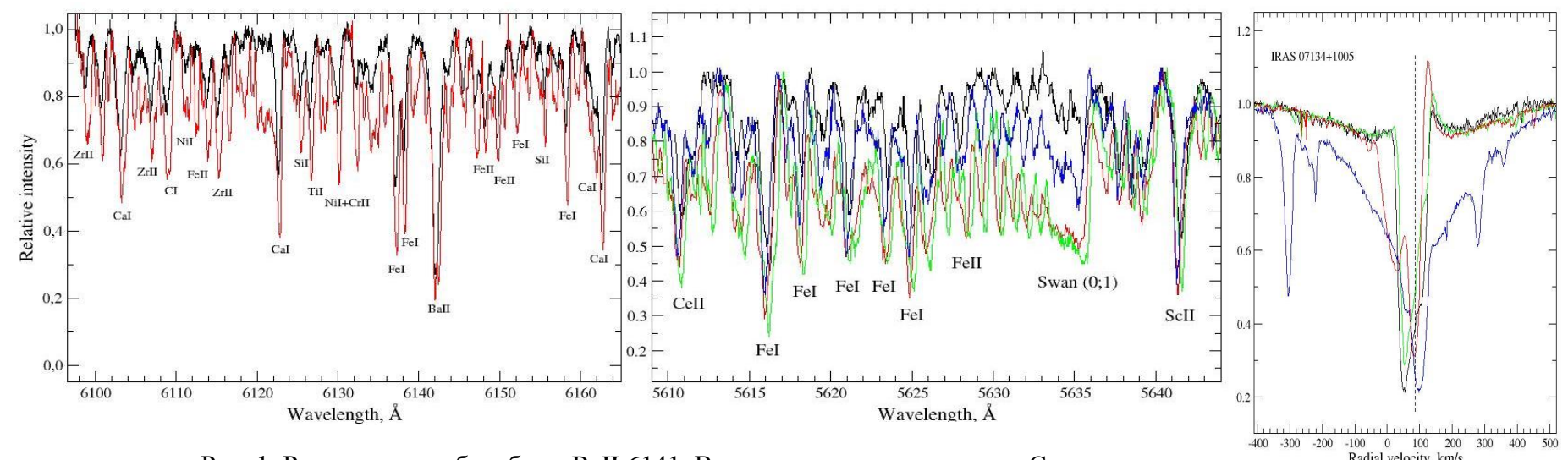


Рис. 1. Расщепление абсорбции Ва
II 6141. Вариации полосы молекулы C_2

Рис. 2. Первые наблюдения раздвоения ядра профиля Нα

Новые возможности для поисков кандидатов в магнитные звезды

И.И. Романюк, И.А. Якунин, А.В. Моисеева, Е.П. Корчагина, В.Н. Аитов (ЛИЗМ САО)

ИДЕЯ

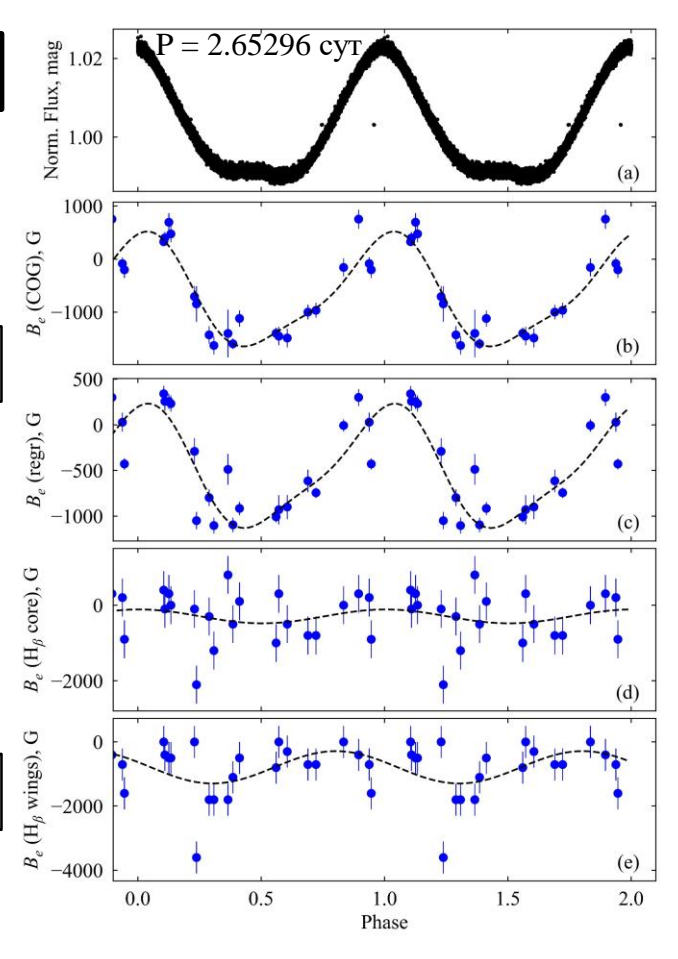
► Магнитное расщепление линий усиливается в ИК-диапазоне

ДАННЫЕ И ПОДХОД

- ► каталог Chojnowski et al. (2019)
- ▶ нашли 1000 СР звезд по APOGEE спектроскопии → 157 объектов имеют признаки зеемановского расщепления

НАША РАБОТА

- ► выбрали 33 объекта (яркие с сильным магнитным полем) для спектрополяриметрического подтверждения на БТА ОЗСП
- ▶ провели наблюдения первых 18 СР звезд



Фазовые кривые звезды HD 225114 по фотометрии TESS (а), магнитных измерений B_e (COG) (b), регрессии B_e (regr) (c), по ядру (d) и по крыльям (e) линии H β .

ПОДТВЕРДИЛИ

ightharpoonup для 15 из 18 СР-звезд подтверждено магнитное поле ($\chi^2/n > 5$, $B_{\rm rms} \ge 3\sigma$, n > 1). Для других трех нужны дополнительные измерения

ИТОГ

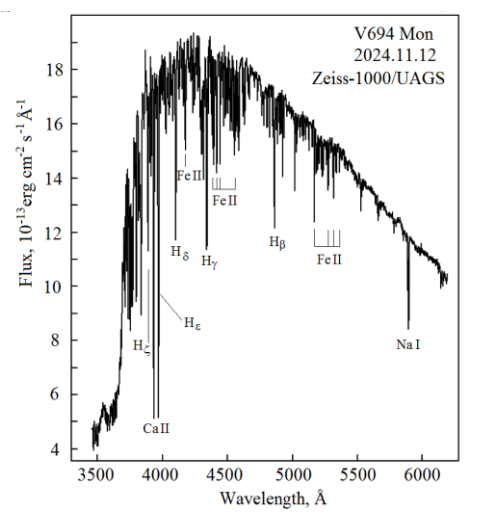
► комбинация ИК-спектроскопии и спектрополяриметрии повышает эффективность поиска магнитных звезд

ПУБЛИКАЦИИ

- ➤ Romanyuk et al., 2025, Azerbaijani Astronomical Journal (in press)
- ► Romanyuk et al., 2025, Astrophysical Bulletin (in press)

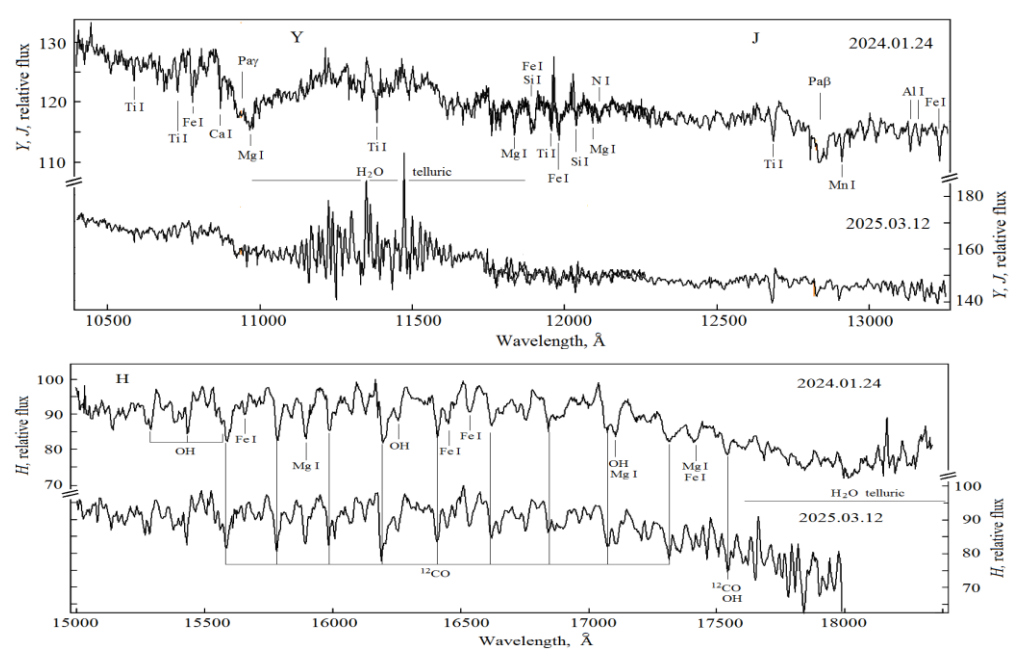
Динамический режим переноса массы в системе V694 Mon. Результаты в ИК диапазоне

В.П. Горанский (ГАИШ МГУ, ЛФЗ САО), А.М. Татарников (ГАИШ МГУ), Е.А. Барсукова (ЛФЗ САО), В.В. Комаров (САО РАН)

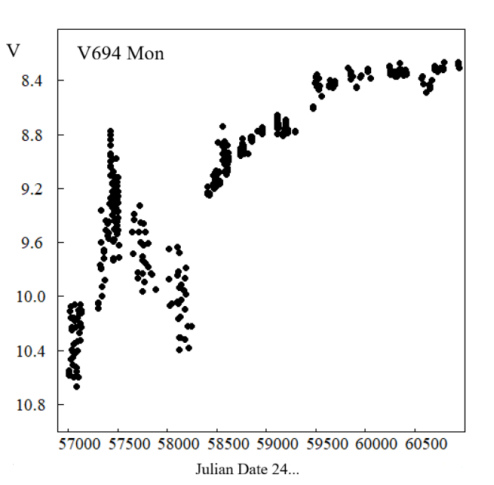


Оптический спектр А-звезды, полученный в CAO PAH

С 2018 по 2024 год в симбиотической системе наблюдалось прекращение дисковой аккреции и заполнение полости Роша аккретора при переносе массы из оболочки красного гиганта МЗ-М6 І-ІІІ. Наблюдалась вспышка эмиссионного спектра элементов s-процесса. М-гигант является S-звездой. В оптике появилась звезда класса A4 I, которая за 3 года пришла в равновесие (Goranskij, et al., 2025, Galaxies 13, 59).

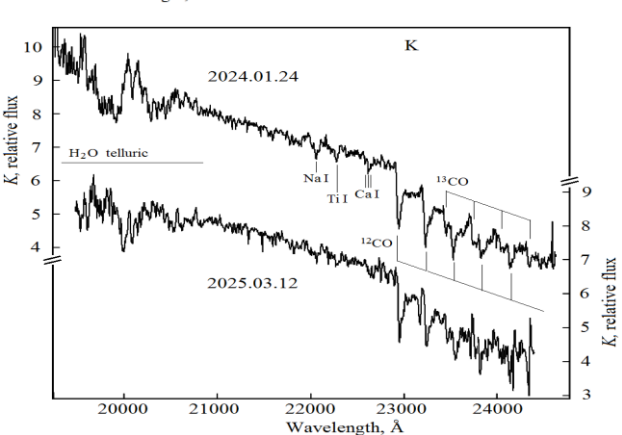


Кривая блеска в оптике. Видна последняя вспышка с фликкерингом и изменения блеска, связанные с формированием Азвезды и достижением ее равновесного состояния.



Судьба донора - М-гиганта оставалась неизвестной.

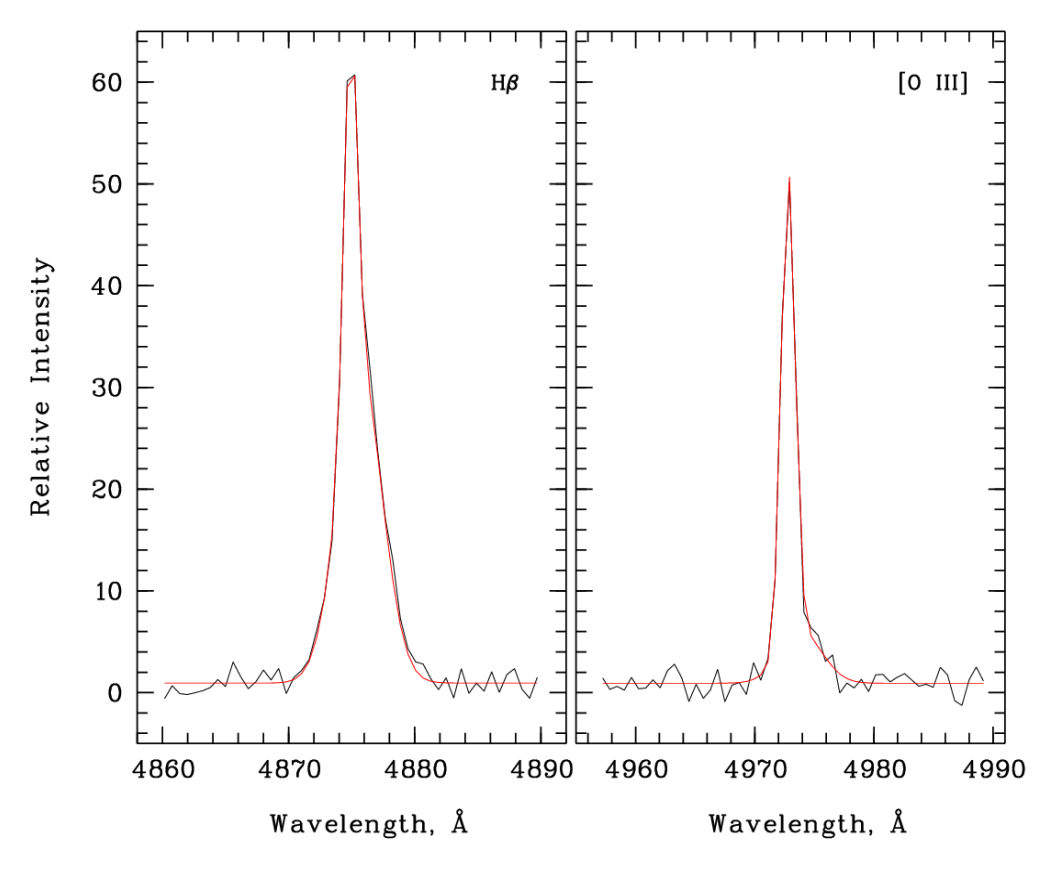
Спектральные наблюдения в КГО ГАИШ на 2.5-м телескопе в полосах YJHK (сверху — вниз) в диапазоне 1.05 — 2.46 мкм. Видны молекулярные полосы М-гиганта и линии Пашена А-звезды.



Спектроскопия туманности вокруг NGC4861 X-1

Винокуров А.С., Саркисян А.Н. (ЛФЗ САО РАН)

В январе 2025 года на БТА/SCORPIO-2 в рамках программы "Спектроскопия и фотометрия ультраярких рентгеновских источников" при превосходных погодных условиях был получен глубокий спектр туманности вокруг NGC4861 X-1 с гризмой VPHG1800@500 и щелью 0.5". Данный объект стал четвертой туманностью вокруг ULX с явными признаками фотоионизации рентгеновским и экстремальным УФ излучением центрального источника, выделяясь на фоне остальный аномально выскокой плотностью вещества. Новые данные позволили обнаружить и разделить вклады широкой и узкой компонент эмиссий водорода, гелия и кислорода, существенно улучшив предыдущий результат наблюдений. Ширины компонент составили FWHM=1.32±0.07Å и FWHM=4.14±0.10Å соответственно.

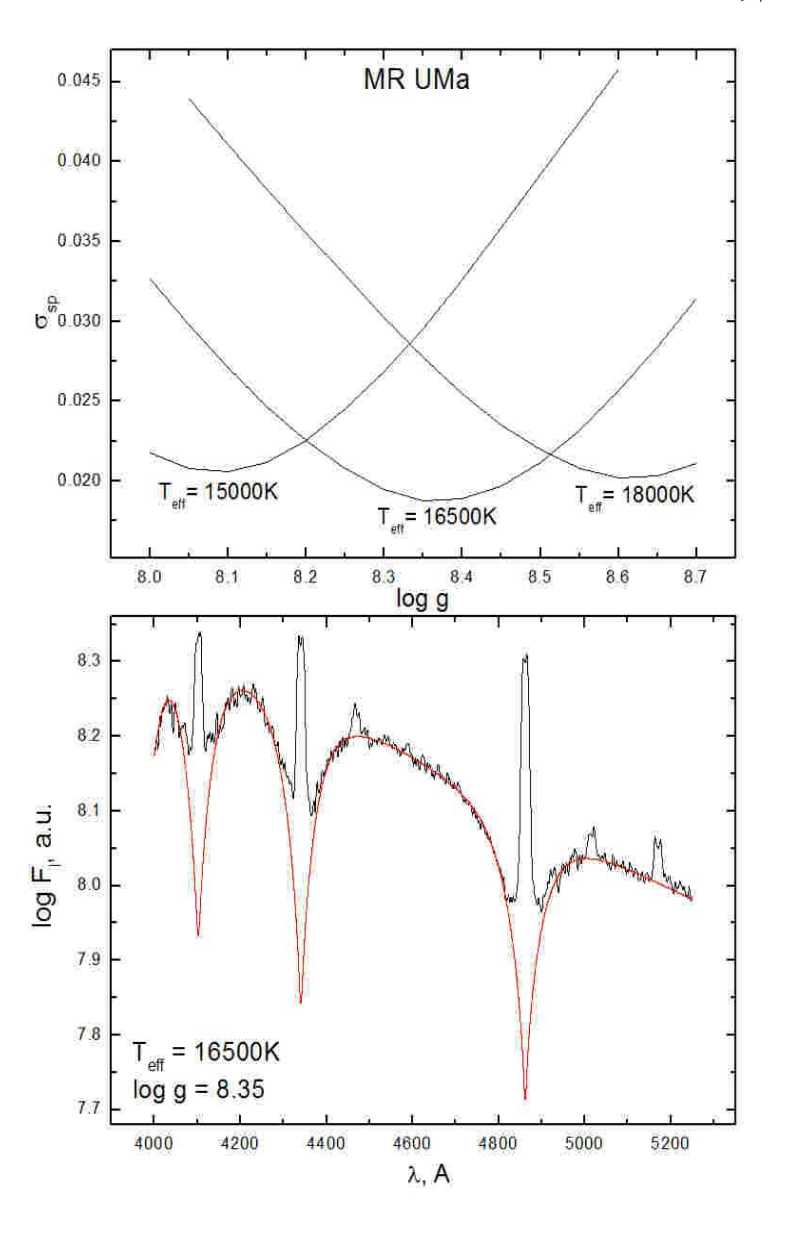


Широкая компонента свидетельствует наличии ударных волн со скоростями около 200 проблему KM/C, которые решают возникновения синхротронного излучения туманности, ранее открытого в соавторстве с коллегами из Китая (Gong et al. 2023). Новые данные также дают возможность провести детальное моделирование спектра туманности для уточнения характеристик центрального источника.

На рисунке показан профиль линии Нβ в сравнении с профилем линии [O III] λ4959.

Анализ наблюдений карликовой новой MR UMa

Шиманский В.В., Дудник А., Борисов Н.В. (ЛФОТ САО)

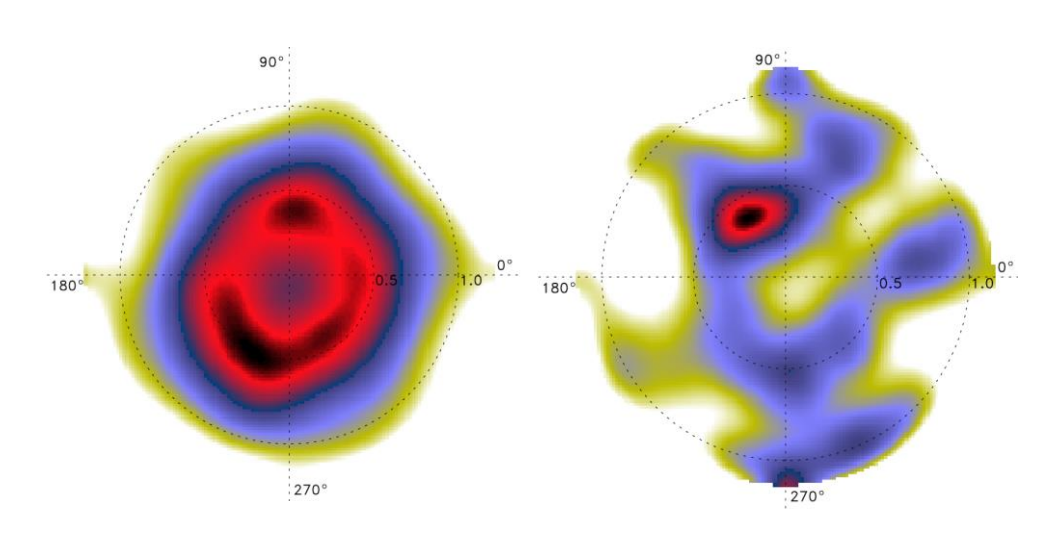


MR UMa — карликовая новая типа SU UMa с невысокой вспышечной активностью (13 вспышек за 7 лет (ZTF)). Наблюдения на БТА/SCORPIO-1 в 2023 г. спустя 62 дня после вспышки 23.12.2022 (ZTF). В спектрах континуум БК с эмиссиями АД HI, HeI, FeII с $\delta V \approx 1300-1600$ км/с.

Определение параметров методом анализа потоковых и нормированных спектров горячих БК (Шиманский В.В. и др. 2025): T=16500±1800K, log g=8.35±0.19, M_1 =0.80±0.13, R_1 =0.0099±0.0014, M_2 =0.126±0.004, R_2 =0.144±0.004. Доплеровские карты MR UMa показали оптически толстый АД в эмиссиях $H_{\rm B}$ и $H_{\rm V}$ и тонкий в HeI, FeII и континууме.

Предварительный вывод

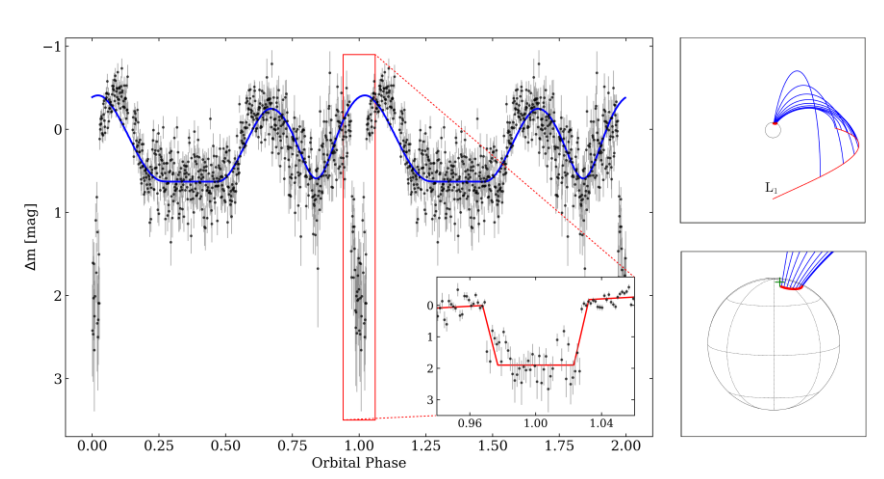
При вспышках мало активных КН типа SU UMa их возврат в спокойное состояние с оптически тонким АД происходит сразу по окончании вспышки.



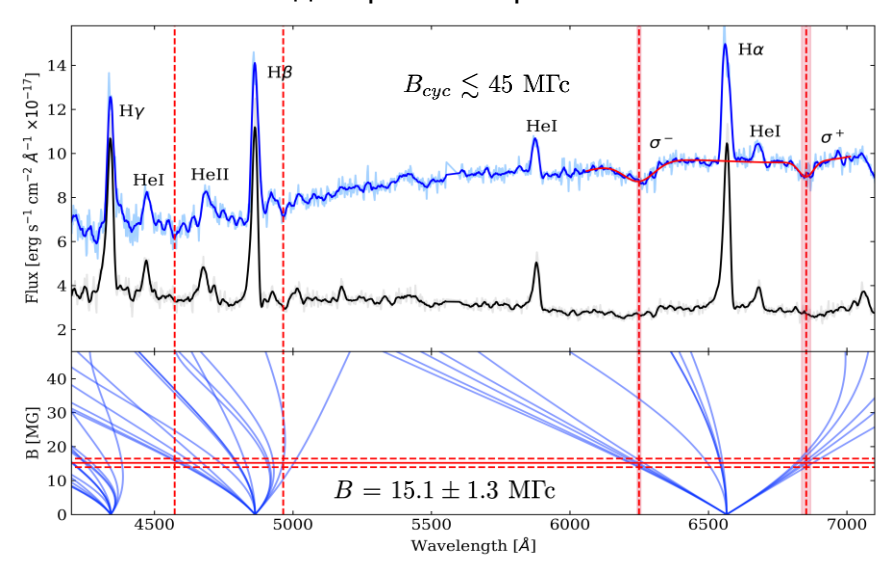
Доплеровские томограммы АД в линиях H_{β} и FeII 5169

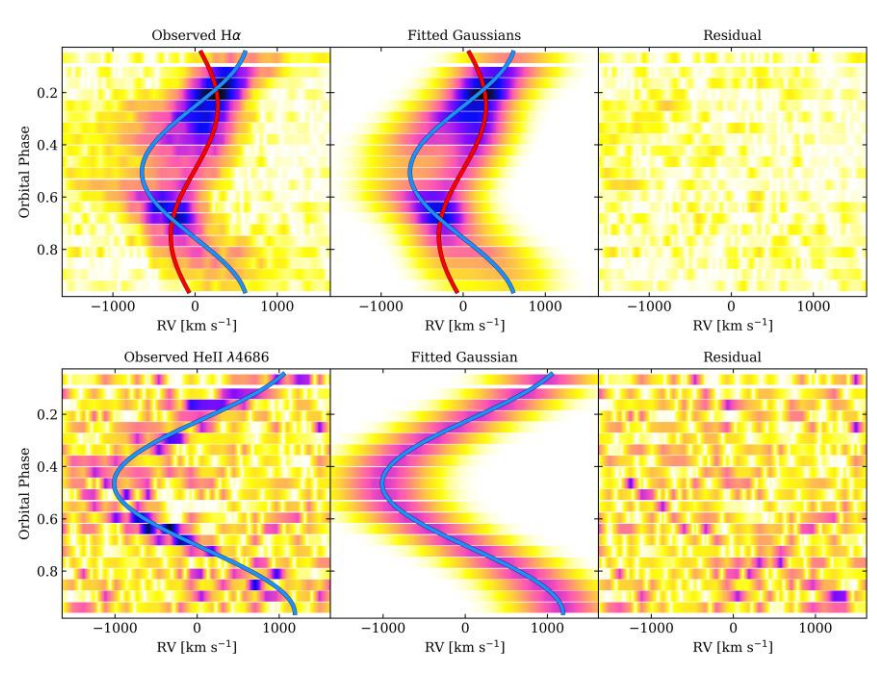
Спектральное и фотометрическое исследование поляра SDSS J002637.06+242915.6

Кочкина В.Ю., Колбин А.И., Фатхуллин Т.А., Борисов Н.В. (ЛФОТ САО), Винокуров А.С. (ЛФЗ САО РАН)



Моделирование кривой блеска





Динамические спектры эмиссий Hα и HeII 4686

$$M_1 = 0.57 \pm 0.15 M_{\odot}$$

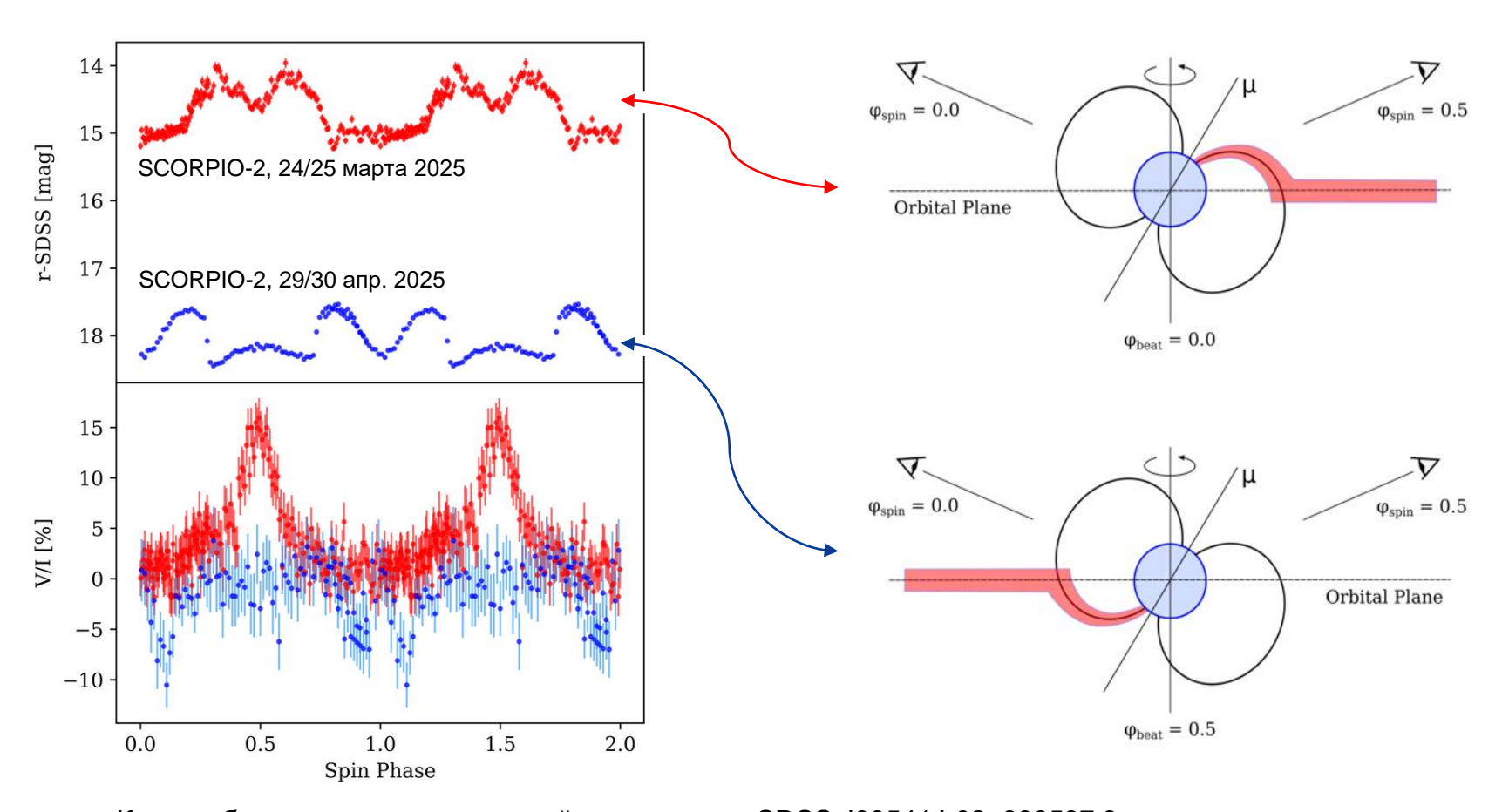
 $M_2 = 0.174 \pm 0.022 M_{\odot}$
 $i = 78.9 \pm 1.7^{\circ}$

Оценка индукции магнитного поля

См. подробнее Kochkina, Kolbin, et al., 2025, RAA (in press).

Поляризационные наблюдения смены аккрецирующего полюса в асинхронном поляре

Колбин А.И., Кочкина В.Ю., Борисов Н.В. (ЛФОТ САО РАН), Опарин Д.В., Котов С.С. (ЛСФВО САО РАН)



Кривые блеска и кривые криуговой поляризации SDSS J085414.02+390537.3 по данным двух эпох наблюдений. Смена положения яркой фазы и смена знака поляризации обусловлены переключением аккреции с одного магнитного полюса на другой.

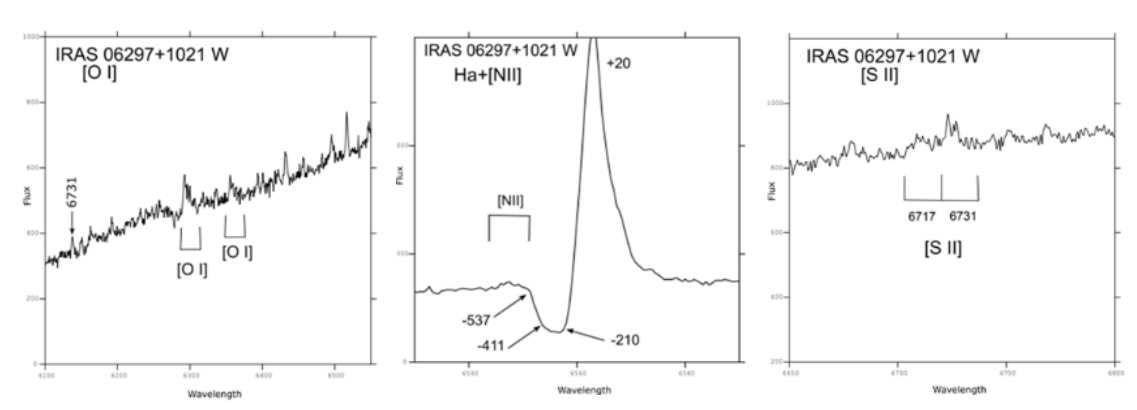
Эруптивные звезды, обнаруженные при спектральном обзоре ИК-источников в областях звездообразования

Т.Ю. Магакян, Т.А. Мовсесян (БАО), А.В Моисеев (САО)

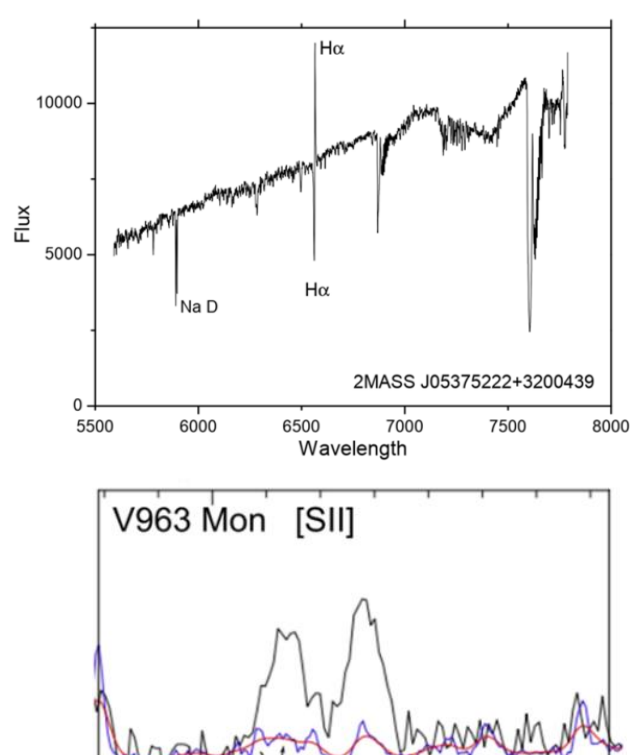
С 2020 г. на 6-м телескопе была начата программа длиннощелевой спектроскопии ИК-источников в областях звездообразования, видных и в оптическом диапазоне, с помощью фокального редуктора SCORPIO-2. Представляем найденные в ходе последних наблюдений (2025 г.) нескольких необычных звезд.

GM 1-39 (2MASS J05375222+3200439). Объект относится к YSO и имеет большое сходство со звездами FU Ori-like, одновременно демонстрируя активность типа UX Ori.

IRAS 06297+**1021** (**W**). Возможный FU Ori-like объект с необычайно широкими (900-1000 км/с) и мультикомпонентными (до 6) запрещенными эмиссиями [SII], [O I], [Fe II] и [N II].



V963 Mon - недавно обнаруженная эруптивная молодая звезда с амплитудой колебаний блеска на до 5 величин (тип EX Lupi) и одновременно чрезвычайно глубокими падениями яркости по типу объектов UX Ori. Мы обнаружили широкие мультикомпонентные запрещенные эмиссии, как и у IRAS 06297+1021(W). Возможно, эти звезды вместе с PV Сер составляют новый субкласс эксоров-фуоров.



HVC

6700

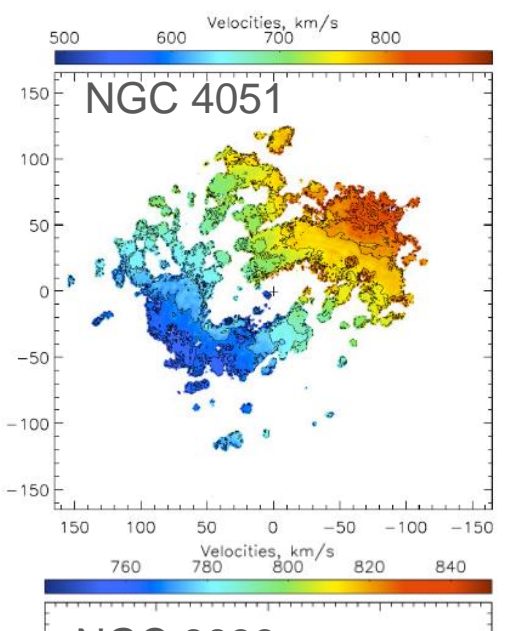
2025 - blue

2025 convolved - red

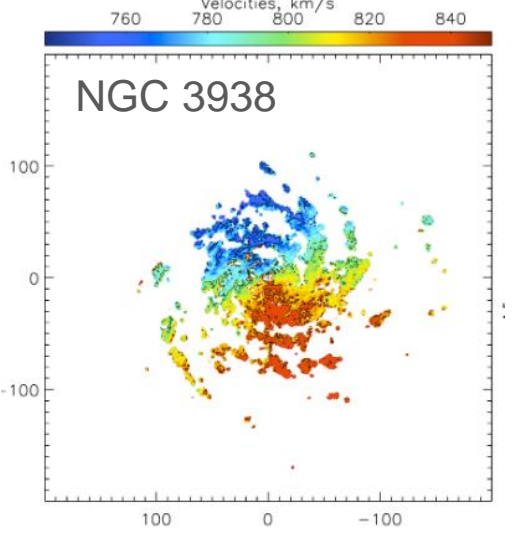
Все показанные спектры и фрагменты получены на БТА/SCORPIO-2, в 2025 г.

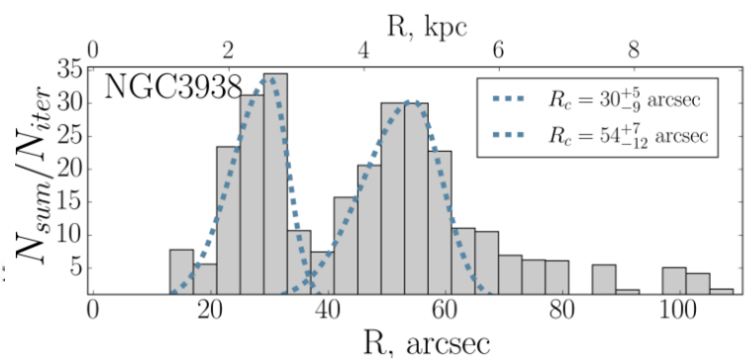
Исследование спиральной структуры галактик на основе современных наблюдательных данных

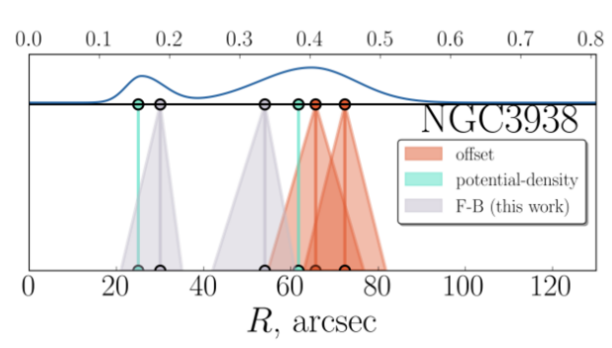
Костюк В.С., Гусев А.С., Моисеев А.В. (ГАИШ МГУ, ЛСФВО САО РАН)



На приборе SCORPIO-2 БТА весной 2025 года были получены и обработаны поля скоростей трех галактик (NGC3938, NGC4051, NGC4123). В двух из них методом изменения радиальной скорости были оценены положения радиусов коротации. Сравнение измерений с данными других работ показало, что в обеих галактиках наблюдается два радиуса коротации. Это указывает на то, что спиральная структура этих объектов, скорее всего, поддерживается двумя модами, вращающимися с разными угловыми скоростями. Планируется проведение подобного анализа для 10+ галактик.







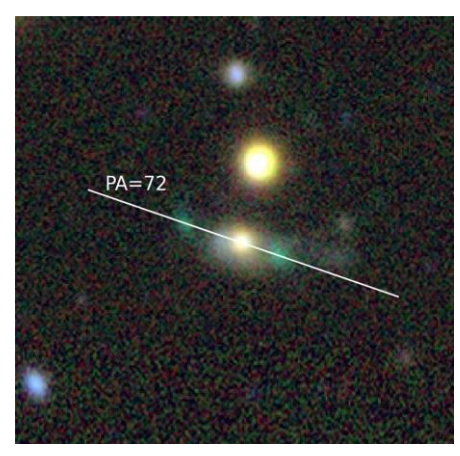
Пример измерения радиусов коротации

Сравнение с другими методами



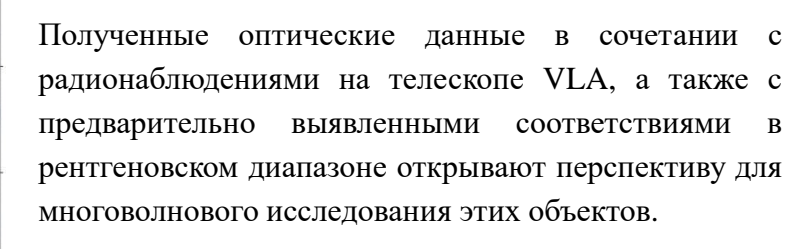
Спектроскопия галактик типа «зеленая фасоль»

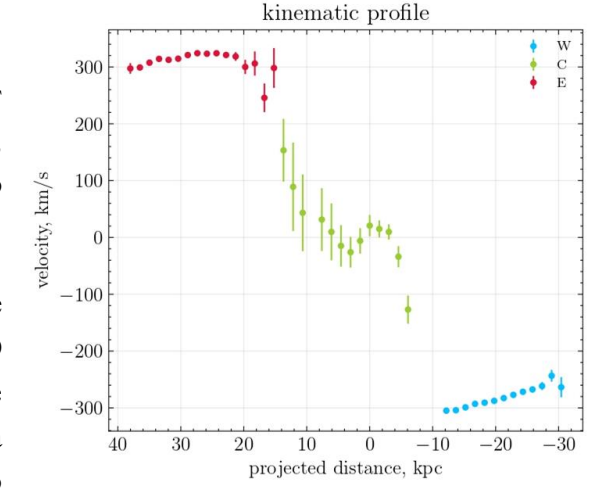
Аршинова А., Kelly N. Sanderson (NMSU, New Mexico), Mouceeв A.B.

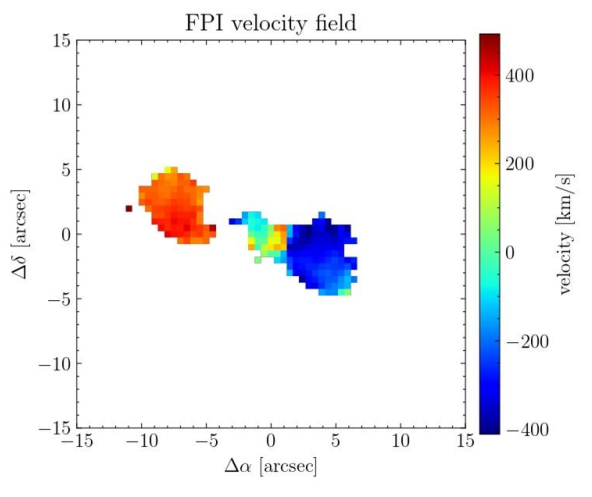


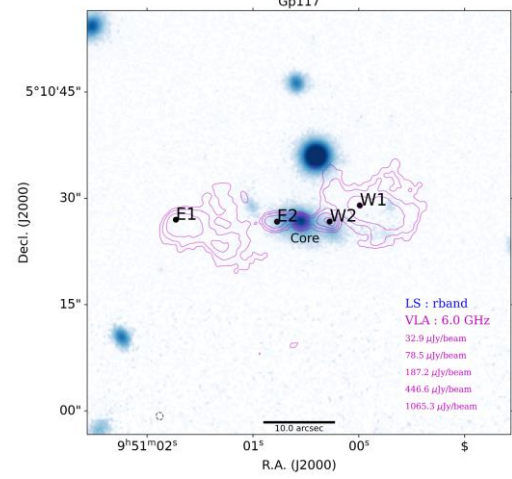
Галактики типа «зелёная фасоль» (green bean), считаются эхом ионизации квазара, и представляют собой протяженные ионизованные облака, обнаруженных в ходе обзора неба SDSS вплоть до красных смещений $z\sim0.6$.

Анализ 8 объектов, полученных на приборе SCORPIO-2 методами длиннощелевой и 3D спектроскопии (ИФП), указывает на происхождение ионизации от активного ядра. Таким образом, на данный момент известная выборка спектрально подтверждённых галактик типа «зелёная фасоль» увеличена на ~50%, что существенно расширяет возможности для статистического анализа их свойств.









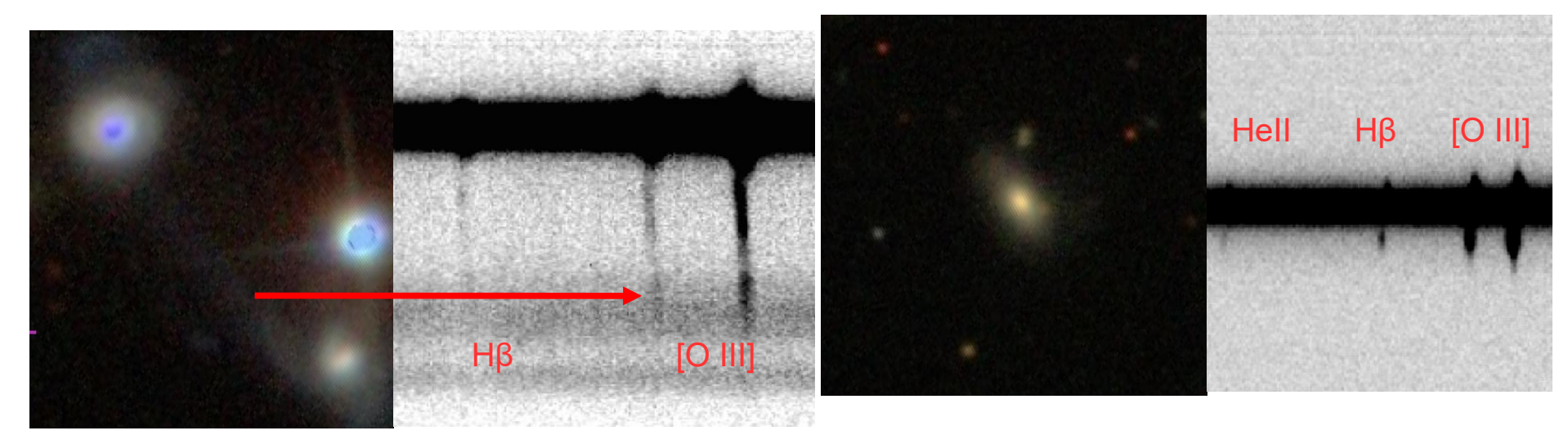


Обзор протяженных ионизованных облаков вокруг активных ядер галактик

W. Keel (Alabama Uni.) + лаборатория СФВО

Продолжалось исследование кандидатов в объекты с удаленными облаками газа, ионизованными активным ядром. Показаны примеры двух галактик, в которых подтверждено присутствие протяженных областей в линии [OIII], причем в SDSS J0811+53 обнаружена область, изучающая в линии HeII вплоть до рассоятния 16 кпк от ядра, что однозначно указывает на ионизационный конус AGN.

Mrk 477 SDSS J0811+53



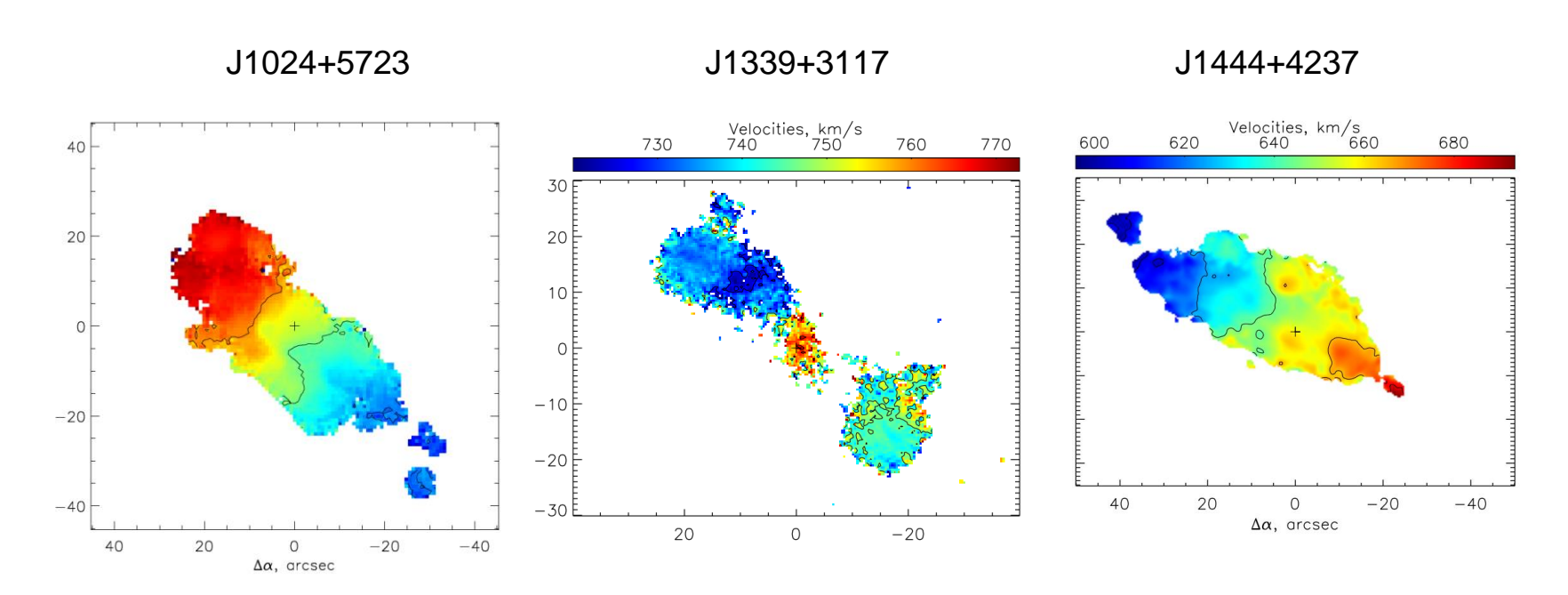
Изображения из SDSS и фрагмент спектров, полученных на БТА со SCORPIO-2



Особенности кинематики и звездного населения экстремально низко металличных галактик

Zou (NAOC, Китай) + лаборатория СФВО

Выполнены первые наблюдения по новой программе исследования кандидатов в низкометалличные карликовые галактики, отобранных в ходе выполнения спектрального обзора DESI. Построены поля скоростей ионизованного газа для трех галактик, обнаружены области некруговых движений, возможно, связанных с последствиями аккреции или мержинга. Ведется изучение распределения химсостава по диску галактик.



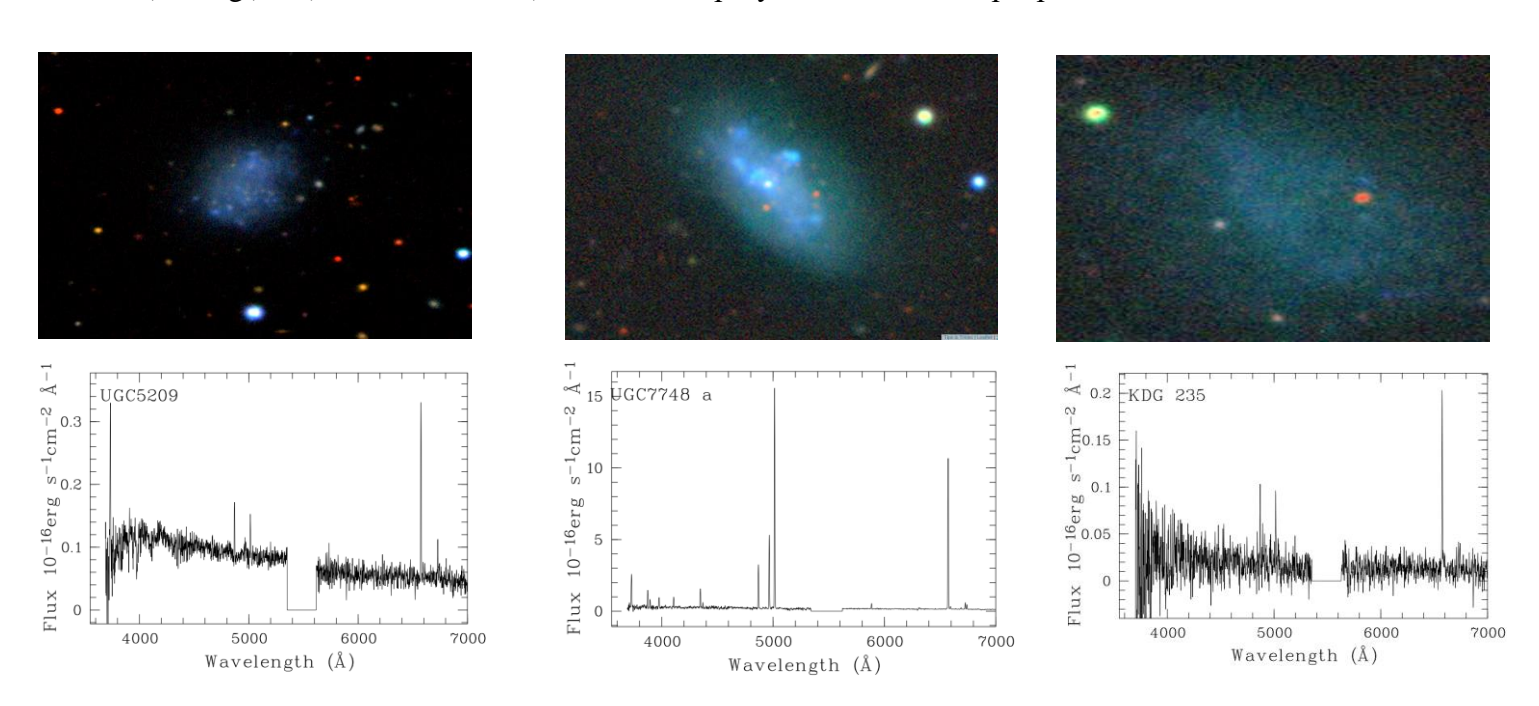
Завершение спектрального обзора галактик пустот Местного Объема

Пустильник, Теплякова, Перепелицына (ВАК САО), Князев (ГАИШ, SAAO)

С декабря 2024 по февраль 2025 на БТА отнаблюдено 16 галактик войдов в Местном Объеме. Большинство галактик – из верхней части функции светимости. Благодаря более высокой яркости, они наблюдались в качестве резерва к другим программам, которые не могли выполняться по погодным условиям.

Программа, продолжавшаяся с сентября 2020 г., ЗАВЕРШЕНА. За 5 лет получены спектры 63-х галактик.

Для 48-ми из них получены оценки металличности газа. 15 из них оказались галактиками с экстремально низкими металличностями $(12+\log(O/H)=7.10-7.35 \text{ dex})$. Статья с результатами этой программы готовится к печати.



Изображения и спектры 3-х галактик в войдах Местного Объема, полученные на БТА. Слева направо: UGC5209, UGC7748, UGC10669, с $12 + \log(O/H) = 7.33, 7.62$ и 7.10 dex, соответственно.

